



ارزیابی و مقایسه داده‌های بارش ماهواره GPM با مقادیر بارندگی ایستگاه‌های زمینی با

استفاده از آزمون کلموگروف-اسمیرنوف

معصومه اردونی^۱، هادی معماریان^{۲*}، مرتضی اکبری^۳، محسن پور رضا بیلندی^۴

۱. دانش‌آموخته کارشناسی ارشد مهندسی آبخیزداری دانشگاه بیرجند

۲. دانشیار گروه مهندسی آبخیزداری، دانشکده منابع طبیعی و محیط‌زیست، دانشگاه بیرجند

۳. استادیار گروه مدیریت مناطق خشک و بیابانی، دانشکده منابع طبیعی و محیط‌زیست، دانشگاه فردوسی مشهد

۴. دانشیار گروه علوم و مهندسی آب، دانشکده کشاورزی، دانشگاه بیرجند

تاریخ دریافت: ۱۴۰۰/۰۴

تاریخ پذیرش: ۱۴۰۰/۰۵

نوع مقاله: علمی - پژوهشی

چکیده

این تحقیق باهدف ارزیابی و مقایسه مقادیر بارندگی برآورده شده ماهواره هواشناسی GPM با ایستگاه‌های زمینی و با استفاده از آزمون نا پارامتری کلموگروف-اسمیرنوف دونمونه‌ای در حوزه آبخیزگرگانرود استان گلستان انجام شد. در این پژوهش به دلیل شروع به کار ماهواره GPM از سال ۲۰۱۴ و همچنین عدم دسترسی به داده‌های زمینی به‌روز، از آمار بارندگی ۱۶ ایستگاه هواشناسی موجود در منطقه مورد مطالعه، به‌عنوان داده‌های مرجع با دوره آماری ۲۰۱۴/۳/۲۰-۲۰۱۶/۳/۲۰ و از داده‌های بارندگی روزانه ماهواره GPM با تفکیک مکانی ۰/۱ درجه استفاده شد. تجزیه و تحلیل داده‌ها در محیط نرم‌افزار متلب و با استفاده از تابع توزیع تجمعی تجربی انجام گردید. نتایج نشان داد که از لحاظ آماری در ایستگاه‌های باغ سالیان، دشت شاد، قوچمز، حق الخواجه، زرینگل مقادیر P-value از سطح معنی‌داری α بالاتر بوده و به ترتیب برابر با ۰/۸۳، ۰/۳۶، ۰/۱۱، ۰/۹۵، ۰/۳۳ است. یعنی اختلاف بین داده‌های بارش ماهواره‌ای با مشاهدات ایستگاه زمینی معنی‌دار نیست. نتایج حاصل از بررسی مقادیر P-value مربوط به مقایسه آمار روزانه ایستگاه‌های باران‌سنجی با داده‌های ماهواره GPM، نشان داد که این آماره با مقدار ۰/۹۵، بالاترین میزان مطابقت داده‌های GPM با داده‌های مشاهده‌ای را در ایستگاه حق الخواجه نشان داده و کمترین میزان مطابقت با مقدار ۰/۰۰۱ مربوط به ایستگاه شیرآباد می‌باشد. بنابراین، برای بهبود محصولات ماهواره GPM، به‌ویژه در مدیریت منابع آب از جمله مدیریت سیلاب در مناطق مختلف با توزیع گسترده فضایی و تغییرات زمانی بارش، باید واسنجی محصولات بارش ماهواره‌ای در دستور کار قرار گیرد تا دقت آن‌ها در اندازه‌گیری بارش روزانه بهبود یابد. آزمون کلموگروف-اسمیرنوف برای اولین بار برای بررسی انطباق داده‌های روزانه ماهواره GPM با داده‌های مشاهداتی انجام و مشخص گردید در همه‌ی ایستگاه‌هایی که فرض H_0 پذیرفته شده است، مطابقت نسبی بین داده‌های ماهواره‌ای با داده‌های مشاهده‌شده ایستگاه‌های زمینی وجود دارد.

واژه‌های کلیدی: اندازه‌گیری بارش، آزمون‌های آماری، مدیریت منابع آب، ماهواره‌های هواشناسی.

مقدمه

بارندگی بخش حیاتی چرخه‌ی آب است که زمین، اقیانوس و اتمسفر را به هم ارتباط می‌دهد (Guo et al., 2016). به عبارتی بارش یکی از مهم‌ترین عوامل مؤثر در تعادل آب و انرژی در جهان و متغیرهای هواشناسی است (Kidd & Huffman, 2011). برنامه‌ریزی، طراحی، توسعه و مدیریت اغلب سیستم‌های آبیاری و زهکشی و به‌طور کلی کشاورزی نیازمند دانستن اطلاعاتی در مورد بارندگی است (حقیقت‌جو، ۱۳۸۱؛ یوسفی سنگانی و همکاران، ۱۳۹۶). در مطالعات

¹ Email: hadi_memarian@birjand.ac.ir نویسنده مسئول: هادی معماریان

صورت گرفته در ایران و جهان مشخص شده که جهت برآورد احتمال بارش و سیل بر پایه روش‌های ریاضی و توزیع آماری، استفاده از توزیع فراوانی و روش‌های مختلف آماری و تعیین درجه احتمال بر اساس آزمون‌های آماری مطرح بوده است (Akbari et al., 2016؛ علیجانی و افشارمنش، ۱۳۹۴؛ TOM, 1968؛ یزدان‌پناهی و همکاران، ۱۳۹۷). درواقع، یکی از راه‌های بررسی فراوانی وقوع پدیده‌ها و پاسخ‌گویی به سؤال‌های مرتبط با آن، استفاده از توابع توزیع احتمال است. به کمک این توابع، می‌توان توزیع‌های احتمال را بر داده‌ها برازش داده و با محاسبه پارامترهای توزیع برازش یافته پی به برخی از ویژگی‌های داده‌ها برد. پارامترهای توزیع نوعی عبارات ریاضی انتزاعی هستند که شکل، مقیاس و موقعیت توزیع داده‌ها را مشخص می‌کنند (Wilks, 2006؛ یوسفی سنگانی و همکاران، ۱۳۹۶). روش‌های ناپارامتری در آمار به رویکردهای استنباطی اطلاق می‌شود که نسبت به روش‌های پارامتری کمترین مفروضات ممکن را در مورد توزیع جمعیت آماری در نظر می‌گیرند (Gibbons & Chakraborti, 2003). آزمون کلموگروف-اسمیرنوف^۱ (KS)، ابزاری کلاسیک و مشهور برای آزمایش فرضیه غیر پارامتری است (Sadhanala et al., 2019; Kolmogorov, 1933; Smirnov, 1948). آزمون کلموگروف - اسمیرنوف یک نمونه‌ای و دو نمونه‌ای است. در مورد آزمون یک نمونه‌ای، داده‌های تجربی را می‌توان در برابر توزیع شناخته‌شده برازش داد تا هم قوارگی توزیع یک نمونه با توزیعی که برای جامعه فرض شده است، ارزیابی شود. درحالی‌که آزمون دو نمونه‌ای با مقایسه دو مجموعه داده و بدون پیش‌بینی توزیع‌های اساسی انجام می‌شود (Lall, 2015). آزمون KS یکی از متداول‌ترین آزمون‌های برازندگی مدل است. آزمون کلموگروف-اسمیرنوف دو نمونه‌ای برای بررسی تفاوت بین دو جمعیت آماری مستقل بر اساس تنها یک متغیر مورد استفاده قرار می‌گیرد. یکی از ابزارهای مهم در تعیین آماره آزمون کلموگروف-اسمیرنوف دو نمونه‌ای، استفاده از تابع توزیع تجربی در نمونه‌های مستقل با استفاده از داده‌های دقیق است (Dimitrova ; Hesamian & Chachi, 2015) (et al., 2017).

پژوهش‌های متعددی در خصوص بررسی تغییرات مکانی و زمانی توزیع‌های فراوانی متغیرهای مختلف هیدرولوژیکی در جهان، توسط آزمون یک نمونه‌ای کلموگروف - اسمیرنوف صورت گرفته است. حقیقت‌جو (۱۳۸۱)، در بررسی تابع چگالی احتمال بارندگی‌های ماهانه و سالانه ایستگاه‌های قدیمی ایران مانند بوشهر، مشهد، تهران، جاسک و اصفهان به این نتیجه رسید که توزیع لوگ پیرسون تیب ۳ بهترین برازش را بر بارندگی ماهانه دارد و بارندگی سالانه از توزیع واحدی پیروی نمی‌کند. در تحقیقی که جهت ارزیابی بارش سالانه در ۶۵ ایستگاه مازندران و گلستان پرداخته شده بود، مشخص گردید که توزیع نرمال دو پارامتری بهترین برازش را برای منطقه خزری دارد و در بررسی تأیید طول دوره آماری مشخص گردید که توزیع پیرسون در دوره‌های ۱۵ ساله بهترین برازش را دارند (Mahdavi et al., 2010). در پژوهشی دیگر، نصرآبادی (۱۳۹۳)، به واکاوی تغییر توزیع فراوانی بارش روزانه پایگاه آفرودیت با آزمون KS یک نمونه‌ای در ایران پرداخته است که در این مطالعه مقادیر P-value بین ۰/۰۳-۰/۷۶ قرار داشته است. اما پژوهش‌هایی نیز توسط آزمون دو نمونه‌ای کلموگروف-اسمیرنوف صورت گرفته است. در تحقیقی دیگر چهار متغیر در آزمون کلموگروف-اسمیرنوف برای مجموعه داده‌های دویعدی مورد آزمایش قرار گرفته است. نتایج به‌دست‌آمده از تحقیق نشان داد که آزمون‌های مقایسه نمونه، توزیع آزمون‌های طووس^۲، فاسانو^۳ و فرانچسینی^۴ را پایدارتر از سایر آزمون‌ها معرفی کردند (Lopes et al., 2007). آزمون اسمیرنوف دو نمونه‌ای برای داده‌های بازه‌ای پیوسته توسط (Lin et al., 2010) مورد بررسی قرار گرفته است. در ارتباط با آزمون کلموگروف-اسمیرنوف می‌توان به سایر پژوهش‌ها نیز اشاره نمود. برای نمونه در کاربرد آزمون کلموگروف-اسمیرنوف یک نمونه‌ای و دو نمونه‌ای (Okeniyi & Okeniyi, 2012)، استفاده از الگوریتم تطبیقی را برای دسته‌بندی توابع توزیع احتمال تجمعی^۵ (More & Lopes et al., 2007)، یک رویکرد جدید برای آزمون کلموگروف-اسمیرنوف دو نمونه‌ای در حالتی که داده‌های

1 Kolmogorov-Smirnov

2 Peacock

3 Fasano

4 Franceschini

5 cumulative probability distribution functions

مشاهداتی از متغیرهای تصادفی فازی هستند (Chachi & Hesamian, 2015)، و مقایسه عملکرد آزمون یک نمونه و دونمونه‌ای کلموگروف-اسمیرنوف (Zhou & Berger, 2014)، اشاره نمود.

مطالعات زیادی در مورد مطابقت داده‌های ماهواره GPM و داده‌های ایستگاه‌های زمینی انجام شده است. برآورد خسارت ناشی از حوادث طبیعی از قبیل سیل، خشکسالی، زمین‌لغزش، طوفان و غیره با استفاده از داده‌های ماهواره‌ای بسیار متداول است. به‌طور کلی داده‌های بارندگی با وضوح زمانی و مکانی بالا به‌عنوان ورودی کلیدی در مدل‌های هیدرولوژی و هواشناسی جهت افزایش دقت پیش‌بینی در مدیریت منابع آب ضروری می‌باشند (عرفانیان و همکاران، ۱۳۹۵)؛ بنابراین ماهواره‌ها می‌توانند تصویر بهتری از توزیع باران و برف در کره زمین نسبت به ایستگاه‌های زمینی، به‌ویژه در مناطقی که کمبود ایستگاه‌های زمینی وجود دارد فراهم نمایند (شریفی و همکاران، ۱۳۹۵). با استفاده از سامانه GPM در اندازه‌گیری بارش نقاط مختلف کره‌ی زمین، قابلیت پیش‌بینی سیل و رانش زمین، ارزیابی و پیش‌بینی منابع آب شیرین در مقیاس حوضه‌های متوسط تا بزرگ، بهبود یافته است. به‌ویژه در کشورهای درحال توسعه، و مناطقی که با تراکم کم باران‌سینج‌ها مواجه هستیم (Hou et al., 2014). همانطور که اشاره شد در ارتباط با استفاده از داده‌های ماهواره‌ای، با توجه به الگوریتم مورد استفاده در این سامانه، یکی از دقیق‌ترین و معتبرترین سامانه‌های ماهواره‌ای تخمین بارش، سامانه GPM است (اردونی و همکاران، ۱۳۹۹). در این میان می‌توان به برخی از مطالعات شامل: Sharifi و همکاران (۲۰۱۶)، در مقایسه عملکرد نتایج تولیدات بارش در ماهواره GPM و TRMM، در ارزیابی صحت برآورد بارش‌های سنگین حاصل از داده‌های ماهواره GPM و داده‌های هواشناسی گیلان (Zomordian et al., 2018)، اکبری ینگه قلعه و همکاران (۱۳۹۶) جهت برآورد میزان بارش و بررسی تغییرات زمانی- مکانی از داده‌های محصول بارش ماهواره TRMM برای دوره آماری ۲۰۰۱ تا ۲۰۱۰ میلادی با شبکه‌های ۰/۲۵ درجه (تفکیک مکانی) در استان خراسان رضوی، در کشور ایران و همچنین در مقایسه محصولات GPM جهت تولید داده‌های بارشی مورد نیاز در فصل وقوع سیل به‌منظور بررسی‌های هیدرولوژیکی و پیش‌بینی زمان واقعی سیل، اشاره نمود (Wang et al., 2017). علاوه بر این (Longenecker et al., 2017) در بررسی همبستگی هیدروگراف‌های فصل بهار با داده‌های GPM برای حفاظت از منابع آب کارستی پنسیلوانیا (آمریکای شمالی) نتیجه گرفتند که این روش تأثیر قابل توجهی در بهبود سرعت و صحت ارزیابی ویژگی‌های هیدرودینامیکی حوزه با تأکید بر برنامه‌های کاربردی حفاظت منابع آب و اکتشافات آب‌های زیرزمینی دارد.

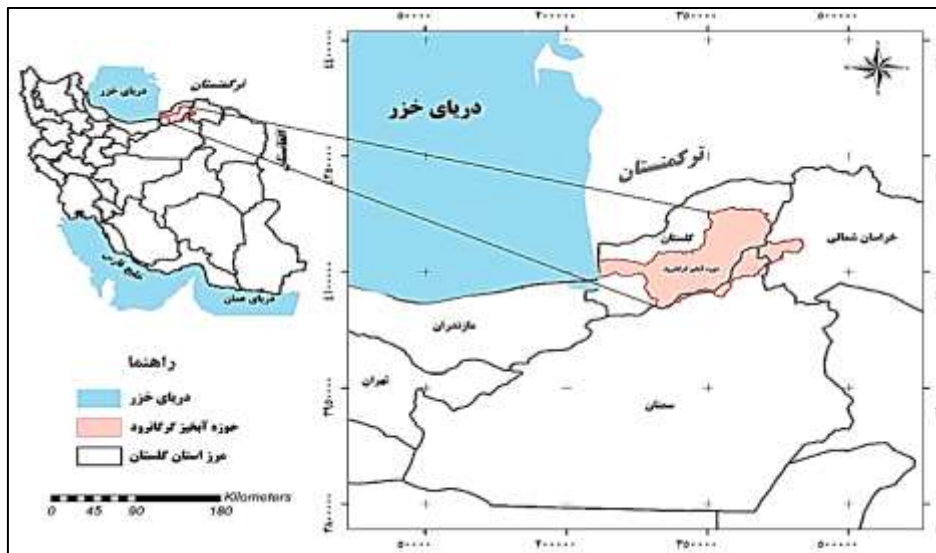
لازم به توضیح است تاکنون مطالعه‌ای در ارتباط با ارزیابی مقادیر بارش در مقیاس‌های مختلف زمانی با استفاده از آزمون کلموگروف-اسمیرنوف دو نمونه‌ای انجام نشده است. به همین سبب، پژوهش حاضر باهدف ارزیابی تابع توزیع تجمعی تجربی برازش یافته بر بارش در مقیاس‌های زمانی روزانه با تعداد ۱۶ ایستگاه مطالعاتی قابل استفاده و طول دوره آماری مشترک در شمال شرق ایران (حوضه آبخیز گرگانرود) انجام شد. در صورتی که توابع توزیع تجمعی تجربی برازش یافته بر مقادیر بارش ایستگاه‌های زمینی و ماهواره GPM به هم نزدیک باشند؛ یعنی ماهواره مقادیر بارش را درست پیش‌بینی کرده و می‌توان به‌جای داده‌های زمینی از داده‌های ماهواره در نقاط فاقد ایستگاه استفاده کرد و داده‌ها را به سطح تعمیم داد. نتایج این تحقیق علاوه بر نوآوری می‌تواند برای کارشناسان، مدیران و برنامه‌ریزان اجرایی در موضوع مدیریت منابع آبی، کشاورزی، جنگلداری و در برآوردهای آماری روش‌های مدل‌سازی، شاخص‌های برآورد خشکسالی و مخاطرات سیلاب‌ها کارآمد و مفید باشد.

مواد و روش‌ها

معرفی منطقه مورد مطالعه

از نظر موقعیت جغرافیایی، حوزه آبخیز گرگانرود در شمال شرقی ایران و در محدوده ۴۲° ۵۳' تا ۲۸' ۵۶° طول جغرافیایی و ۳۶° ۴۳' تا ۴۹° ۳۷' عرض جغرافیایی واقع شده است (آذری و همکاران، ۱۳۹۲). حداکثر ارتفاع از سطح آب‌های آزاد ۳۶۰۰ متر و حداقل ارتفاع (۱۲-) متر می‌باشد (شرکت آب منطقه‌ای استان گلستان، ۱۳۸۷). استان گلستان در طبقه‌بندی دومارتن دارای اقلیم متفاوت می‌باشد که در این منطقه نوار شمالی استان دارای اقلیم خشک و

نوار پایین‌تر آن دارای اقلیم نیمه‌خشک می‌باشد. همچنین دو منطقه بسیار مرطوب در داخل نواحی مرطوب و پنج منطقه مرطوب در داخل نواحی نیمه مرطوب قرار دارد (مصطفی‌زاده و همکاران، ۱۳۹۷). مرطوب‌ترین ماه‌های این منطقه شامل آذر، دی، بهمن، اسفندماه بوده و خشک‌ترین ماه آن شهریور است (شیخ و همکاران، ۱۳۸۸). میانگین سالانه بارش در حوزه از حدود ۲۰۰ میلی‌متر در بخش‌های شمالی تا ۱۰۰۰ میلی‌متر در بخش مرکزی و جنوبی آن متغیر بوده و روند تغییرات سالانه بارندگی شبه مدیترانه‌ای است. میانگین سالانه دما در این حوزه از حدود ۱۷ درجه سانتی‌گراد در نواحی کم ارتفاع تا ۷/۵ درجه سانتی‌گراد در ارتفاعات جنوبی متغیر است (Modarresi et al., 2010)؛ اردونی و همکاران، ۱۳۹۹). مساحت حوزه آبخیز گرگانود ۱۱۳۸۰ کیلومترمربع و معادل ۴۸ درصد سطح استان گلستان می‌باشد که ۵۶ درصد آن را مناطق کوهستانی و ۴۴ درصد آن را دشت‌ها تشکیل داده‌اند (موسوی ندوشنی و همکاران، ۱۳۹۷). و ۶۷ درصد آب سطحی استان، یعنی ۸۲۸ میلیون مترمکعب در این حوزه جریان دارد (شرکت آب منطقه‌ای استان گلستان ۱۳۹۸). رودخانه گرگانود یکی از سه رودخانه اصلی استان گلستان است که نقش پایه و اساسی در عرضه آب دارد؛ منبع مهمی برای تأمین آب استفاده‌شده برای مصارف صنعت، شرب کشاورزی و دامداری است (قاضیانی و همکاران، ۱۳۹۹). شکل (۱) موقعیت جغرافیایی منطقه مورد مطالعه را در ایران و استان گلستان نشان می‌دهد.



شکل (۱): موقعیت جغرافیایی منطقه مورد مطالعه در ایران و استان گلستان

معرفی کلی ماهواره GPM

سنجش جهانی بارندگی که به اختصار GPM^۱ نامیده می‌شود، نام پروژه‌ای مشترک بین آژانس اکتشافات هوافضای ژاپن (JAXA)^۲ و ناسا و دیگر آژانس‌های فضایی بین‌المللی است که هدف آن دیده‌بانی پیوسته (هر نیم ساعت) بارندگی زمین است. این پروژه بخشی از برنامه ناسا به نام مأموریت‌های روش‌مند زمین است که با در اختیار داشتن مجموعه‌ای از ماهواره‌ها به منظور تأمین پوشش کلی کره زمین فعالیت می‌کند. این پروژه نقشه‌های بارش جهانی را تهیه می‌کند که به پژوهشگران در زمینه مطالعه اقلیم جهان، پیش‌بینی حوادث و مخاطرات طبیعی و بهبود کاربرد داده‌های ماهواره‌ای در زمینه کمک به جامعه بشری یاری می‌رساند (Hou et al., 2014; NASA, 2016). این ماهواره، با استفاده از ابزار تصویربرداری میکروویو (GMI)^۳ و رادار بارش دو فرکانسه (DPR)^۴، می‌تواند بارش برف و باران را مشاهده کرده و محصول نهایی آن IMERG^۵ نام دارد که ترکیبی از اطلاعات چندین ماهواره مشاهدات زمینی است.

1 Global Precipitation Measurement

2 Japan Aerospace Exploration Agency

3 GPM Microwave Imager

4 Dual-Frequency Precipitation Radar

5 Integrated Multi-Satellite Retrievals for GPM

این الگوریتم برای واسنجی، ادغام و میان‌یابی برآوردهای حاصل از داده‌های میکروویو ماهواره‌ای، همراه با برآورد ماهواره‌ای مادون قرمز واسنجی شده با اطلاعات میکروویو، باران‌سنج‌ها و سایر برآوردهای بارش در مقیاس‌های مکانی و زمانی دقیق برای سامانه TRMM و GPM طراحی شده است. این الگوریتم چندین بار برای هر زمان مشاهده‌ای اجرا می‌شود، ابتدا یک تخمین سریع می‌زند و با رسیدن اطلاعات بیشتر، پی‌درپی تخمین‌های بهتری ارائه می‌دهد. مرحله آخر نیز از داده‌های اندازه‌گیری ماهانه برای ایجاد محصولات در سطح تحقیقاتی استفاده می‌کند (Huffman et al., 2015). در واقع این محصول می‌تواند بارش‌های برف و باران را با دقت بالا (تفکیک افقی $0.1^{\circ} \times 0.1^{\circ}$ درجه و گام زمانی نیم‌ساعته) مشاهده و عرضه نماید (اردونی و همکاران، ۱۳۹۹).

آزمون کلموگروف - اسمیرنوف (KS)

جهت مقایسه توزیع فراوانی مقادیر بارندگی برآورد شده ماهواره GPM و مشاهده‌ای از آزمون کلموگروف - اسمیرنوف (KS) استفاده شد. آزمون کلموگروف-اسمیرنوف (KS) یک نمونه‌ای و دو نمونه‌ای است. در مورد آزمون یک نمونه‌ای، داده‌های تجربی را می‌توان در برابر توزیع شناخته‌شده‌ای برازش داد تا مشخص شود؛ آیا داده‌ها از این توزیع پیروی می‌کنند یا خیر؟ در حالی که آزمون دو نمونه‌ای مقایسه دو مجموعه داده بدون پیش‌بینی توزیع انجام می‌شود (Kolmogorov, 1933). آزمون کلموگروف-اسمیرنوف دو نمونه‌ای برای بررسی تفاوت بین دو جمعیت آماری مستقل بر اساس تنها یک متغیر مورد استفاده قرار می‌گیرد. تابع توزیع تجمعی^۱ (CDF) یک جزء جدایی‌ناپذیر از آزمون KS است. به همین ترتیب، با تعیین فیلد CDF، $F(x)$ برای متغیر تصادفی X شروع می‌شود. CDF از X به صورت زیر بیان می‌شود: $F(x) = P(X \leq x)$ ، در حالی که X شامل مجموعه‌ای از مقادیر ممکن برای متغیر تصادفی X است. CDF احتمال X را با مقدار کمتر یا برابر x نشان می‌دهد (Hassani & Silva., 2015). در بررسی‌های هیدرولوژی در آزمون یک نمونه‌ای سعی می‌شود داده‌هایی که به صورت تجربی اندازه‌گیری و ثبت شده‌اند، با توابع توزیع تئوری برازش داده‌شده و بهترین تابعی که با داده‌ها مطابقت دارد به عنوان تابع توزیع احتمال برگزیده شود تا از روی آن به ازای هر احتمال مورد نظر مقدار متغیر هیدرولوژی به دست آید (Alizadeh et al., 2013).

برای آزمون نیکویی برازش به کمک آزمون یک نمونه‌ای، قدم نخست استفاده از فرض صفر (بین توزیع تئوری و توزیع داده‌های تجربی اختلاف معنی‌داری وجود ندارد) است. قدم دوم انتخاب یک سطح اعتماد (α) برای آزمون می‌باشد. مثلاً سطح اعتماد ۵ درصد $(\alpha=0.05)$ این پژوهش به این معنی است که آزمون در ۵ درصد موارد اشتباه و در ۹۵ درصد موارد صحیح است (علیجانی، ۱۳۹۴). توزیع آماره‌ی آزمون D_n به توزیع فرضیه $F(x)$ بستگی دارد و آماره-ی این آزمون یعنی D_n در رابطه‌ی یک مشخص شده است (Huffman et al., 2015; Burr, 1964). آزمون کلموگروف-اسمیرنوف یک نمونه‌ای کلاسیک تک‌بعدی، آزمون ناپارامتری برای مقایسه دو توزیع تجربی است که بزرگ‌ترین اختلاف مطلق بین دو تابع توزیع تجمعی را به عنوان معیار اختلاف در نظر می‌گیرد (Xiao, 2007; Lopes et al., 2007).

$$D_n = \max_x |F_n(x) - F(x)| \quad (1)$$

آماره آزمون کلموگراف-اسمیرنوف حداکثر مقدار $|F_n(x) - F(x)|$ است (Hajek & Sidak, 1967; Xiao et al., 2007). در این جا $F_n(x)$ احتمال تجمعی تجربی است که مانند $F_n(x(i)) = i/n$ برای کوچک‌ترین مقدار i آمین داده برآورد می‌شود و $F(x)$ تابع توزیع تجمعی نظری است که در X ارزیابی می‌شود. بنابراین آماره‌ی D_n آزمون کلموگراف - اسمیرنوف بیشینه‌ی قدر مطلق تفاضل تابع توزیع تجربی و نظری را آشکار می‌کند (Wilks, 2006; Burr, 1964). البته مقدار سطح اعتماد (α) بر رد فرض صفر اثر دارد (Wilks, 2006). فرض صفر وقتی رد می‌شود که مقدار D_n از یک مقدار بحرانی انتخاب شده معین، تجاوز کند (علیجانی و افشارمنش، ۱۳۹۴). در مقابل آزمون یک نمونه‌ای KS، آزمون دو نمونه‌ای KS، یک آزمون فرضیه ناپارامتری است که تفاوت بین توابع توزیع تجمعی (CDF) دو بردار داده نمونه را در

محدوده X در هر مجموعه داده ارزیابی می‌کند. در واقع آزمون دو نمونه‌ای KS، تابع توزیع تجمعی تجربی ($ECDF^1$) را با دو متغیر تصادفی مقایسه می‌کند تا بتوان تعیین کرد که آیا هر دو متغیر تصادفی توزیع یکسان را به اشتراک می‌گذارند و یا از توزیع‌های مختلف به دست می‌آیند. یک مزیت قابل توجه آن در مقابل آزمون یک نمونه‌ای این است که می‌توان آن را برای مقایسه دو مجموعه داده بدون دانستن در مورد توزیع‌های اساسی آن‌ها استفاده کرد. با فرض دو متغیر تصادفی X و Y ، آزمون KS دو نمونه‌ای خواهد بود (Lal, 2015). از آنجایی که بر اساس ارزش مطلق انجام می‌شود، دوطرفه نامیده می‌شود (Pratt & Gibbons, 1981). همان‌طور که ذکر شد آزمون KS یک آزمون ناپارامتری سریع و باهدف کلی است؛ اما داشتن یک آزمون باهدف کلی به معنای آن است که به‌طور سیستماتیک نسبت به برخی از انواع و اقسام موارد خاص، حساسیت کمتری دارد. به‌عنوان مثال به این دلیل که CDF های تجربی $F_{X,n_1}(x)$ و $F_{Y,n_2}(x)$ باید هر دو به صفر تمایل داشته باشند (رابطه شماره ۲) (Sadhanala et al., 2019).

$$D_{n_1, n_2} = \max_x |F_{X, n_1}(x) - F_{Y, n_2}(x)| \quad (2)$$

برای محاسبه آماره KS، باید حداکثر $|F_{X, n_1}(x) - F_{Y, n_2}(x)|$ پیدا شود. به عبارتی آزمون دو نمونه‌ای KS بر اساس حداکثر اختلاف تابع است (Pratt & Gibbons, 1981). خوشبختانه، به‌جای اینکه همه‌ی این‌ها (احتمالات ناممکن) بررسی شود، می‌توان از این واقعیت استفاده کرد که توزیع تجربی گسسته است و فقط در مقادیر X بررسی می‌شود (Lal, 2015). همان‌طور در تمام آزمون‌ها، فرآیند تصمیم‌گیری نیاز به محاسبه مقادیر احتمالی دارد (Hajek & Sidak, 1967؛ Hanson & Vogel, 2009). برای آزمون KS، فرمول‌های مختلفی برای محاسبه مقدار p وجود دارد که هر کدام دارای مزایا و محدودیت‌های خاص خود هستند (Hassani & Silva, 2015). در آزمون دو نمونه‌ای KS، تصمیم به رد فرضیه صفر مبتنی بر مقایسه مقدار p با سطح اهمیت آلفا است، نه با مقایسه آماری آزمون دو نمونه‌ای KS با یک مقدار بحرانی. برای آزمون دو نمونه‌ای، فرضیه صفر در سطح α هنگامی که برابر با رابطه (۳) باشد، رد می‌شود (Lal, 2015).

$$\sqrt{\frac{n_1 n_2}{n_1 + n_2}} D_{n_1, n_2} > K_\alpha \quad (3)$$

داده‌های آماری مورد استفاده در تحقیق

در این تحقیق از آمار بارندگی ایستگاه‌های هواشناسی موجود در استان گلستان به‌عنوان داده‌های مرجع و از داده‌های بارش روزانه که توسط ماهواره GPM (تمام‌روزهای سال بدون بارش و بارشی به دلیل احتمال تخمین بارش، توسط ماهواره برای یک روز خاص نیز لحاظ گردیده است). برآورد شدند استفاده گردید. به دلیل شروع به کار ماهواره GPM از سال ۲۰۱۴، داده‌های ایستگاه‌های باران‌سنجی دوره آماری از ۲۰۱۴/۳/۲۰ تا ۲۰۱۶/۳/۲۰ از شرکت آب منطقه‌ای استان گلستان برای انجام این پژوهش جمع‌آوری گردید. ایستگاه‌های منتخب دارای آمار کافی و معتبر به‌صورت سری زمانی روزانه بودند. در این تحقیق از داده‌های نرخ بارندگی روزانه و الگوریتم IMERG سامانه ماهواره‌ای GPM با تفکیک مکانی ۰/۱ درجه برای مطالعه و بررسی استفاده شد. این ماهواره تخمین‌های بارش ماهانه، روزانه و نیم‌ساعته را در شبکه‌های ۰/۱ درجه طولی و عرضی برای محدوده ۶۰ درجه شمالی و جنوبی تولید می‌کند. در ابتدا مقادیر بارش IMERG برای تاریخ‌های موردنظر با فرمت TIF از سایت ناسا^۲ دریافت (NASA, 2016) و در محیط نرم‌افزاری GIS، نقشه‌های رستری (۰/۱*۰/۱) مربوطه فراخوانی شدند. سپس مقادیر بارش روزانه تمام ایستگاه‌ها استخراج و در محیط نرم‌افزار اکسل ثبت گردیدند؛ و در نرم‌افزار متلب نسخه ۹،۰ نمودارهای تابع توزیع تجمعی تجربی رسم شد و سپس با استفاده از مقدار P-value در مورد رد یا پذیرش فرضیه صفر (H_0 نشان از مطابقت توزیع یکسان مقادیر بارش زمینی با مقادیر برآورد شده بارش ماهواره GPM دارد، درحالی‌که فرضیه متناظر H_1 بیان می‌کند که

1 Empirical Cumulative Distribution Function

2 <https://pmm.nasa.gov/data-access/downloads/gpm>

مقادیر بارش زمینی و مقادیر برآورد شده بارش ماهواره GPM توزیع مشابهی را به اشتراک نمی گذارند)، تصمیم گیری شد. جهت مقایسه توزیع فراوانی مقادیر بارندگی برآورد شده ماهواره GPM و مشاهده ای از آزمون کلموگروف-اسمیرنوف (KS) استفاده شد. پژوهش حاضر باهدف ارزیابی تابع توزیع تجمعی تجربی آزمون کلموگروف-اسمیرنوف دونمونه ای برازش یافته بر بارش ثبت شده ایستگاه های زمینی و بارندگی برآورد شده ماهواره GPM در حوزه آبخیز گرگانود انجام شده است. ذکر این نکته ضروری است که در این مطالعه بارش ثبت شده ایستگاه های زمینی و بارندگی برآورد شده ماهواره GPM در مقیاس زمانی روزانه با تعداد ۱۶ ایستگاه مطالعاتی (آب منطقه ای استان گلستان، ۱۳۹۸) قابل استفاده و با مدت دوره آماری مشترک (دوره آماری ۲۰۱۴/۳/۲۰-۲۰۱۶/۳/۲۰) مورد بررسی قرار گرفتند. جدول (۱) مشخصات ایستگاه های باران سنجی معمولی حوزه گرگانود را نشان می دهد.

جدول (۱): موقعیت جغرافیایی ایستگاه های باران سنجی معمولی حوزه آبخیز گرگانود (آب منطقه ای استان گلستان ۱۳۹۸)

ایستگاه	طول جغرافیایی	عرض جغرافیایی	ارتفاع (متر)	میانگین بارش سالانه (میلی متر)
سرمو	۵۴° ۴۹'	۳۶° ۴۸'	۵۰۰	۸۹۲
تقی آباد	۵۴° ۳۸'	۳۶° ۵۲'	۱۴۸	۶۳۱
زرینگل	۵۴° ۵۷'	۳۶° ۵۲'	۳۰۷	۵۹۱
کبودوال	۵۴° ۵۳'	۳۶° ۵۳'	۱۳۰	۴۱۶
شیرآباد	۵۵° ۰۲'	۳۷° ۰۰'	۱۳۰	۹۰۸
نوده	۵۵° ۱۵'	۳۷° ۰۴'	۲۵۵	۹۲۶
حق الخواجه	۵۵° ۵۹'	۳۷° ۰۸'	۳۴۴	۲۱۰
باغسالیان	۵۴° ۴۳'	۳۷° ۰۸'	۱۴	۳۱۱
قزاقلی	۵۵° ۰۱'	۳۷° ۱۳'	۳۸	۳۷۰
گنبد	۵۵° ۱۱'	۳۷° ۱۴'	۶۴	۴۸۰
گالیکیش	۵۵° ۲۶'	۳۷° ۱۵'	۲۱۳	۹۵۱
دشت شاد	۵۵° ۴۵'	۳۷° ۱۶'	۱۵۹۶	۴۱۲
تنگراه	۵۵° ۴۵'	۳۷° ۲۳'	۴۳۸	۸۱۶
قوچمز	۵۵° ۳۰'	۳۷° ۲۳'	۲۰۴	۵۶۰
قرناق	۵۵° ۴۲''	۳۷° ۴۲'	۵۰۰	۴۵۳
آق قلا	۵۴° ۳۰'	۳۷° ۰۱'	-۱۲	۳۹۴

نتایج و بحث

آزمون دو نمونه ای KS، ECDF را از دو متغیر تصادفی به دست می آورد تا بتوان تعیین نمود که آیا هر دو متغیر تصادفی توزیع یکسانی را به اشتراک می گذارند و یا از توزیع های مختلف به دست می آیند؟ (Lal, 2015). H_1 نشان دهنده رد فرضیه صفر در سطح معنی داری آلفا و H_0 نشانگر پذیرش فرضیه صفر در سطح معنی داری آلفا است. مقدار P بدون علامت از آزمون، بین (۰،۱) قرار می گیرد. مقدار p بدون علامت برای اندازه های بزرگ نمونه بسیار دقیق می شود و فرض بر این است که برای اندازه های نمونه n_1 و n_2 بسیار منطقی است. همان طور که در جدول دو دیده می شود فرضیه صفر (H_0) نشان از مطابقت توزیع یکسان مقادیر بارش زمینی با مقادیر برآورد شده بارش ماهواره GPM دارد، درحالی که فرضیه متناظر (H_1) بیان می کند که مقادیر بارش زمینی و مقادیر برآورد شده بارش ماهواره GPM توزیع مشابه را به اشتراک نمی گذارند. مقدار فرض H_0 در ایستگاه های باغ سالیان، دشت شاد، قوچمز، حق الخواجه، زرینگل پذیرفته شده است و در بقیه ایستگاه ها فرض متناظر (H_1) قبول شده است. در واقع نتایج نشان داد که از لحاظ آماری در ایستگاه های باغ سالیان، دشت شاد، قوچمز، حق الخواجه، زرینگل مقادیر P-value معنی دار نبوده و به ترتیب برابر با ۰/۸۳، ۰/۳۶، ۰/۱۱، ۰/۹۵، ۰/۳۳ است. در نتیجه بر اساس آزمون کولموگروف-اسمیرنوف دوطرفه تفاوت آماری معنی داری بین پیش بینی سایر ایستگاه ها (آق قلا، گالیکیش، قزاقلی، قرناق، گنبد، کبودوال، نوده، سرمو،

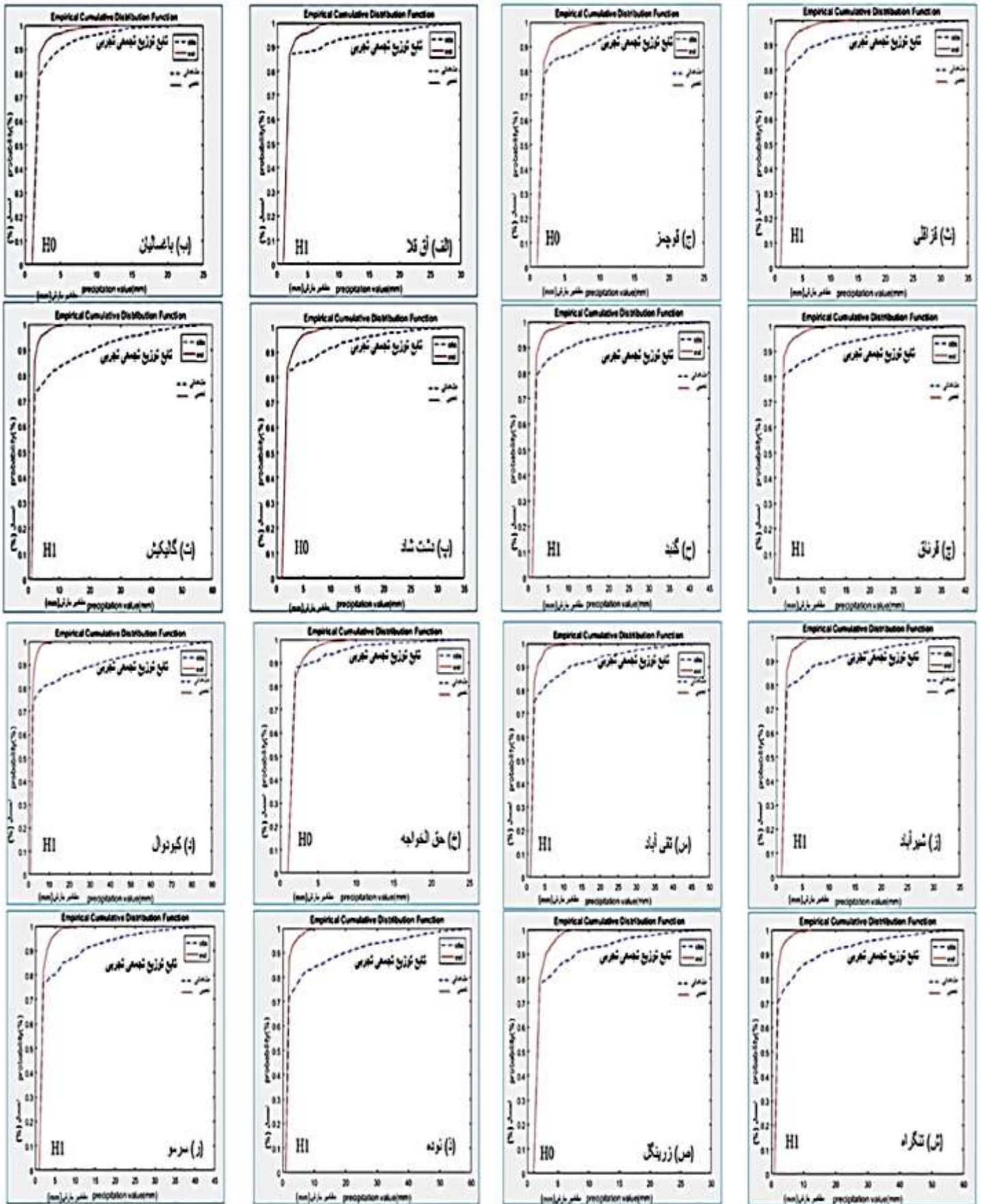
شیرآباد، تقی‌آباد، تنگراه) با مشاهدات زمینی وجود دارد، زیرا در این ایستگاه‌ها مقادیر p از آستانه $0/05$ کمتر است. با توجه به مقادیر P-value این پژوهش که بین $0/01-0/95$ در نوسان است؛ بیشترین و کمترین عدد به ترتیب مربوط به ایستگاه‌های حق‌الخواجه (فرض H_0 پذیرفته‌شده) و شیرآباد (فرض H_1 پذیرفته‌شده) است. در تمام ایستگاه‌هایی که مقدار فرض H_0 پذیرفته‌شده است می‌توان گفت مطابقت نسبی بین داده‌های ماهواره‌ای با داده‌های مشاهده‌شده ایستگاه‌های زمینی وجود دارد. بنابراین در ایستگاه‌هایی که داده‌های زمینی با داده‌های ماهواره مطابقت دارند، داده‌های ماهواره می‌تواند به‌جای داده‌های بارش ایستگاه استفاده‌شده و در برآورد خسارت ناشی از مخاطرات طبیعی نیز از قبیل سیل و خشکسالی مورد استفاده مؤثر قرار بگیرند.

به‌طور کلی داده‌های بارندگی با وضوح زمانی و مکانی بالا به‌عنوان ورودی کلیدی در مدل‌های هیدرولوژی و هواشناسی جهت افزایش دقت پیش‌بینی‌ها کاربرد دارند. در نمودارهای ECDF در شکل (۲) دیده شد که آزمون کلموگروف-اسمیرنوف دوطرفه برای بررسی وجود تفاوت آماری قابل توجه بین دو پیش‌بینی مفید است. همچنین این شکل نشان داد در ایستگاه‌های باغ سالیان، دشت شاد، قوچمز، حق‌الخواجه، زرینگل که فرض صفر قبول شده است اختلاف دو تابع تجمعی تجربی ناچیز است و برعکس در بقیه ایستگاه‌ها که فرض صفر رد شده اختلاف دو تابع تجمعی زیاد است. نتایج این تحقیق در مقایسه با پژوهش‌های انجام‌شده در ایران (حقیقت‌جو، ۱۳۸۱؛ Mahdavi et al., 2010؛ نصرآبادی، ۱۳۹۳) که با آزمون کولموگروف-اسمیرنوف یک نمونه‌ای به بررسی مقادیر بارش پرداختند، متفاوت است. در واقع آن‌ها بهترین توزیع را نسبت به بقیه توزیع‌های برازش داده‌شده مشخص نمودند؛ اما در این مطالعه دو مجموعه از مقادیر بارش ایستگاه زمینی و ماهواره GPM باهم مقایسه شده است. مقادیر P-value در مطالعات انجام‌شده توسط نصرآبادی (۱۳۹۳) بین $0/03-0/76$ و توسط Lin و همکاران (۲۰۱۰) بین $0/01-0/17$ بوده است؛ ولی سایر مطالعات (Lopes et al., 2007; Ecuver & Simard, 2011)، که با آزمون کلموگروف-اسمیرنوف دو نمونه‌ای انجام‌شده در رابطه با مقایسه مقادیر بارش نبوده است.

در جدول (۲) مقادیر p و فرض اعتماد پذیرفته‌شده ایستگاه‌های مطالعاتی مشخص شده است. در نمودارهای تابع توزیع تجمعی (شکل ۲) نیز ایستگاه‌هایی که فرض صفر در آن‌ها رد شده است، اختلاف دو تابع زیاد و برعکس در ایستگاه‌هایی که فرض صفر در آن‌ها پذیرفته‌شده، اختلاف ناچیز می‌باشد.

جدول (۲): مقادیر آماره آزمون کلموگروف - اسمیرنوف در ایستگاه‌های باران‌سنجی حوزه آبخیز گرگانود

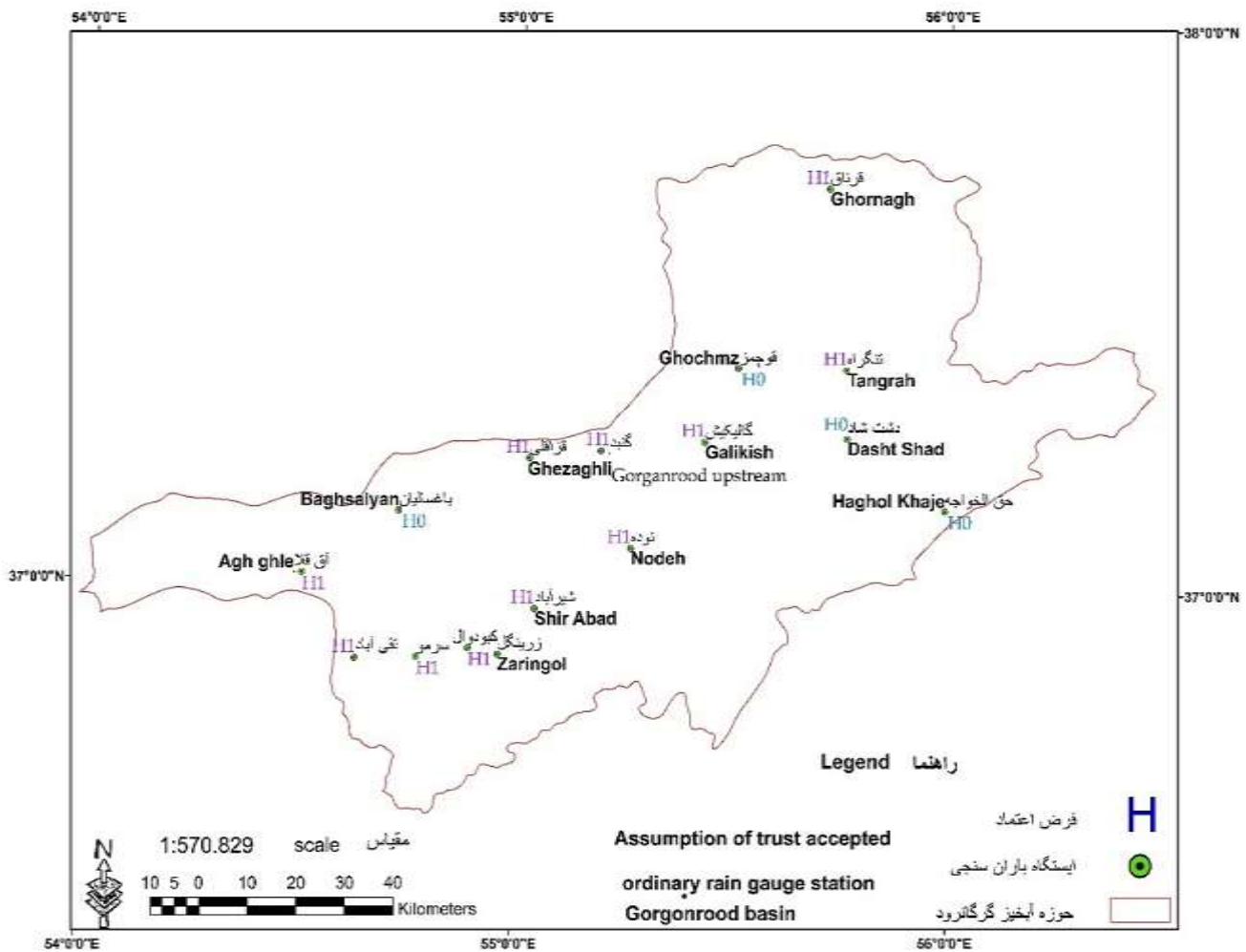
ردیف	ایستگاه	p-value	K	فرض پذیرفته‌شده
۱	آقی‌قلا	۰/۰۰۲	۰/۰۹	H1
۲	باغسالیان	۰/۸۳	۰/۰۲	H0
۳	دشت شاد	۰/۳۶	۰/۰۳	H0
۴	گالیکیش	۰/۰۵	۰/۱۳	H1
۵	قزاقلی	۰/۰۰۳	۰/۰۸	H1
۶	قوچمز	۰/۱۱	۰/۰۷	H0
۷	قرناق	۰/۰۲	۰/۰۶	H1
۸	گنبد	۰/۰۰۵	۰/۰۸	H1
۹	حق‌الخواجه	۰/۹۵	۰/۰۰۸	H0
۱۰	کبودوال	۰/۰۰۲	۰/۰۸	H1
۱۱	نوده	۰/۰۷	۰/۱۵	H1
۱۲	سرمو	۰/۰۰۶	۰/۰۸	H1
۱۳	شیرآباد	۰/۰۰۱	۰/۱۲	H1
۱۴	تقی‌آباد	۰/۰۰۳	۰/۰۸	H1
۱۵	تنگراه	۰/۰۸۳	۰/۱۳	H1
۱۶	زرینگل	۰/۳۳	۰/۰۵	H0



شکل (۲): تابع توزیع تجمعی تجربی آزمون کلموگروف-اسمیرنوف برازش یافته بر بارش ایستگاه‌های حوزه آبخیز گرگانرود

ارزیابی و مقایسه داده‌های بارش ماهواره GPM با مقادیر بارندگی ایستگاه‌های زمینی ...

همان‌طور که در نمودارها نیز ملاحظه می‌شود خطوط قرمز نمودارها نشان‌دهنده تابع توزیع تجمعی تجربی مقادیر بارش ماهواره و خطوط آبی نیز نشان‌دهنده تابع توزیع تجمعی تجربی مقادیر بارش در ایستگاه‌های زمینی می‌باشد. به عبارتی دیگر در صورتی که تابع توزیع تجمعی تجربی برازش یافته بر مقادیر بارش ایستگاه‌های زمینی و ماهواره GPM باهم نزدیک باشند، ماهواره مقادیر بارش را درست پیش‌بینی کرده و می‌توان به جای داده‌های زمینی از داده‌های ماهواره در نقاط فاقد ایستگاه استفاده کرد و داده‌ها را به سطح تعمیم داد. همان‌طور که ملاحظه می‌شود در ایستگاه‌هایی که فرض H_0 پذیرفته شده است، مطابقت نسبی بین داده‌های ماهواره‌ای با داده‌های مشاهده‌شده ایستگاه‌های زمینی وجود دارد. نتایج این تحقیق با یافته‌های (Zomorodian et al., 2018)، که با شاخص‌های دیگری مانند ضریب همبستگی، میانگین خطای مطلق و... به ارزیابی صحت مقادیر بارش ماهواره GPM پرداختند متفاوت است. یافته‌های آن‌ها حاکی از دقت مطلوب در اکثر ایستگاه‌ها است در حالی که در این پژوهش رکوردهای بارندگی GPM فقط در برخی از ایستگاه‌ها از مطابقت نسبی با داده‌های مشاهده‌ای برخوردار است.



شکل (۳): موقعیت ایستگاه‌های باران‌سنجی با قبول یا رد فرض صفر

در شکل (۳) نیز می‌توان ایستگاه‌هایی که فرض صفر در آن‌ها پذیرفته شده و ایستگاه‌هایی که فرض متناظر پذیرفته شده را مشاهده کرد. ایستگاه‌هایی که فرض صفر در آن‌ها پذیرفته شده در سطح حوضه به صورت پراکنده هستند و آنچه که مسلم است نمی‌توان محدوده خاصی را برای مطابقت یا عدم مطابقت مشاهدات زمینی با داده‌های ماهواره‌ای تفکیک کرد و به‌عنوان مثال گفت که ایستگاه‌های شمال یا جنوب حوضه با داده‌های ماهواره از مطابقت بیشتری برخوردار هستند.

نتیجه گیری

آگاهی از توزیع مکانی و زمانی باران در هر منطقه می تواند برای برنامه ریزی و مدیریت منابع آب سطحی بسیار مفید باشد. پژوهش حاضر باهدف ارزیابی تابع توزیع تجمعی تجربی برازش یافته بر بارش در مقیاس های زمانی روزانه در حوزه آبخیز گرگانرود و مقایسه این تابع برازش یافته بین بارش تخمین زده شده از ماهواره GPM و ایستگاه های زمینی انجام شد. در نرم افزار متلب نمودارهای تابع توزیع تجمعی تجربی تک تک ایستگاه ها رسم شد و با استفاده از آزمون دونمونه ای کلموگروف-اسمیرنوف، شباهت یا اختلاف بین دو تابع با یکدیگر مقایسه گردید. نتایج نشان داد که از لحاظ آماری در ایستگاه های باغ سالیان، دشت شاد، قوچمز، حق الخواجه، زرینگل مقادیر P-value از سطح معنی داری α بالاتر بوده و به ترتیب برابر با ۰/۸۳، ۰/۳۶، ۰/۱۱، ۰/۹۵، ۰/۳۳ است. یعنی اختلاف بین داده های بارش ماهواره ای با مشاهدات ایستگاه زمینی معنی دار نیست. نتایج حاصل از بررسی مقادیر P-value مربوط به مقایسه آمار روزانه ایستگاه های باران سنجی با داده های ماهواره GPM، نیز نشان داد که این آماره با مقدار ۰/۹۵، بالاترین میزان مطابقت داده های GPM با داده های مشاهده ای را در ایستگاه حق الخواجه نشان داده و کمترین میزان مطابقت با مقدار ۰/۰۰۱ مربوط به ایستگاه شیرآباد می باشد. نتایج این تحقیق مشخص نمود که در همه ایستگاه هایی که مقدار فرض H_0 پذیرفته شده است، مطابقت نسبی بین داده های ماهواره ای با داده های مشاهداتی ایستگاه های زمینی وجود دارد. این پژوهش جهت بررسی مطابقت داده های بارش ایستگاه های زمینی با داده های ماهواره ای GPM با استفاده از آزمون کلموگروف-اسمیرنوف دو نمونه ای انجام شده و تاکنون تحقیق دیگری به این موضوع نپرداخته است. به همین دلیل می توان به نتایج این تحقیق در مقایسه با تحقیقات دیگر که بر اساس آزمون یک نمونه ای بوده است، اطمینان بیشتری داشت. زیرا در آزمون یک نمونه ای بهترین توزیعی که به داده ها برازش می یابد مشخص می شود و فقط یک جامعه آماری مورد بررسی قرار می گیرد. پیش بینی و اندازه گیری بارندگی با داده های ماهواره ای را می توان به مدیریت منابع آب و مخاطرات محیطی (رواناب حاصل از بارندگی و مدیریت سیل و...) تعمیم داد. این کار می تواند کیفیت پروژه های هواشناسی، مدیریت منابع آب و مخاطرات محیطی را بهبود بخشد. در صورتی که داده های بارش ماهواره GPM از برازش مناسبی بر داده های ایستگاه های مشاهداتی برخوردار باشد، می تواند کمک مؤثری در اندازه گیری سریع بارش جهت طراحی سامانه های پشتیبان تصمیم مدیریت منابع آب و مخاطرات محیطی باشد. این تحقیق با دوره آماری کوتاه مدت انجام شده است، لذا، پیشنهاد می شود که داده های بارش در مقیاس زمانی روزانه، ماهانه و سالانه در سایر حوزه های آبخیز کشور نیز و با دوره های آماری طولانی تر مورد ارزیابی قرار گیرند. همچنین می توان صحت سنجی داده های ماهواره ای را برای وقایع رگباری و سیل که در سیستم های هشدار مخاطرات محیطی کاربرد دارد، بررسی و تحلیل نمود.

سپاسگزاری

بدین وسیله از شرکت آب منطقه ای استان گلستان به دلیل در اختیار قرار گذاشتن آمار و اطلاعات مورد نیاز این پژوهش تشکر و سپاسگزاری می شود.

منابع

- آذری، م.، ح. مرادی، ب. ثقفیان و م. فرامرزی (۱۳۹۲). ارزیابی اثرات تغییر اقلیم در حوضه آبخیز گرگانرود. نشریه آب و خاک (علوم و صنایع کشاورزی)، ۲۷(۳): ۵۴۷-۵۳۷.
- اردونی، م.، ه. معماریان، م. اکبری و م. پور رضا (۱۳۹۹). صحت سنجی داده های بارش ماهواره GPM-IMERG در مقیاس های زمانی نیم ساعته و روزانه (مطالعه موردی: حوزه آبخیز گرگانرود). پژوهش های حفاظت آب و خاک، ۲۷(۴): ۱۴۹-۱۶۶.
- اکبری ینگه قلعه، م.، ح. ثنایی نژاد، ع. فرید حسینی و م. اکبری (۱۳۹۶). بررسی زمانی-مکانی بارش با استفاده از داده های ماهواره TRMM مطالعه موردی: استان خراسان رضوی. (پژوهش های اقلیم شناسی)، ۸(۲۹): ۱-۱۸.

۴. حقیقت‌جو، پ. (۱۳۸۱). بررسی تابع چگالی احتمال بارندگی‌های ماهانه و سالانه ایستگاه‌های قدیمی ایران، مجله علوم کشاورزی و منابع طبیعی ایران، ۳: ۴۱-۴۸.
۵. شرکت سهامی آب منطقه‌ای مازندران و گلستان. (۱۳۸۷). گزارش بهنگام‌سازی تلفیق مطالعات منابع آب حوزه آبخیز رودخانه قره‌سو و گرگان‌رود، جلد دوم. ۲۴۷ صفحه.
۶. شریفی، ا.، ب. ثقفیان و ر. اشتایناکر (۱۳۹۵). بررسی کارایی جدیدترین نسل محصولات بارش ماهواره‌ای با وضوح زمانی- مکانی بالا. کنفرانس ملی مدیریت منابع آب، دانشگاه کردستان. شماره ۶.
۷. شیخ، و.، ا. واحد بردی، و. بابایی و ی. موشخیان (۱۳۸۸). بررسی روند تغییرات رژیم بارش حوضه آبریز گرگان‌رود. مجله علوم و مهندسی آبخیزداری ایران، ۳(۸): ۳۸-۲۹.
۸. عرفانیان، م.، س. کاظم پور و ح. حیدری (۱۳۹۵). واسنجی داده‌های باران سری ۳ B42 و ۳ B43 ماهواره TRMM در زون‌های اقلیمی ایران. پژوهش‌های جغرافیای طبیعی، ۴۸(۲): ۳۰۳-۲۸۷.
۹. علیجانی، ب. و ح. افشارمنش (۱۳۹۴). تجزیه و تحلیل آماری مقادیر طولانی‌مدت بارش جهت برازش توزیع آماری مناسب (مطالعه موردی ایران)، فصل‌نامه جغرافیا و برنامه‌ریزی شهری چشم‌انداز زاگرس، ۷(۲۵): ۷۳-۹۵.
۱۰. قاضیانی، س.، ع. حشمت پور، م. فراستی و ف. رستمی (۱۳۹۹). ارزیابی کیفی رودخانه‌ی گرگان‌رود با استفاده از شاخص NSFQI در منطقه‌ی شهری گنبدکاووس. مجله اکو هیدرولوژی، ۷(۲): ۳۸۲-۳۷۳.
۱۱. شرکت آب منطقه‌ای استان گلستان. (۱۳۹۸). گزارش مطالعات منابع آب یکپارچه برای حوزه رودخانه قره‌سو و گرگان‌رود. ۲۴۷ صفحه.
۱۲. مصطفی‌زاده، ر.، خ. حاجی، ا. اسمعیلی‌عوری و س. میرزایی (۱۳۹۷). برآورد کمبود جریان ماهانه در دوره‌های خشکسالی هیدرولوژیک در حوضه گرگان‌رود. پژوهشنامه مدیریت حوزه آبخیز، ۹(۱۸): ۱۹۶-۱۹۰.
۱۳. موسوی ندوشنی، س.، س. علی‌محمدی، ا. آهنی و م. موسوی (۱۳۹۷). تحلیل فراوانی دومتغیره خشکسالی در حوزه آبریز قره‌سو-گرگان‌رود با استفاده از توابع مفصل. مجله پژوهش‌های حفاظت آب و خاک، ۲۵(۴): ۹۱-۷۱.
۱۴. نصرآبادی، ن. (۱۳۹۳). واکاوی تغییر توزیع فراوانی بارش روزانه پایگاه آفرودیت در ایران. فصلنامه علمی-پژوهشی اطلاعات جغرافیایی، ۲۳(۹۲): ۷۹-۶۷.
۱۵. یزدان‌پناهی، ا.، م. اکبری و م. بهرنگ منش (۱۳۹۷). بررسی تغییرات زمانی-مکانی پارامترهای کمی و کیفی آب زیرزمینی با استفاده از روش‌های زمین‌آمار در دشت مشهد. نشریه ترویج و توسعه آبخیزداری، ۶(۲۰): ۳۴-۲۵.
۱۶. یوسفی سنگانی، ک.، ح. محمدزاده و م. اکبری (۱۳۹۶). پتانسیل‌یابی آب زیرزمینی کوه‌های هزار مسجد با استفاده از مدل تلفیقی فازی و AHP مطالعه موردی: شمال شرقی کوه‌های هزار مسجد در استان خراسان رضوی، اولین همایش ملی بحران آب و پیامدهای ناشی از آن.
17. Akbari M., Ownegh M., Asgari H., Sadoddin A. and Khosravi H. (2016). *Drought Monitoring based on the SPI and RDI Indices under Climate Change Scenarios (Case Study: Semi-Arid Areas of West Golestan Province)*. ECOPERSIA. 4:1585-1602.
18. Alizadeh M., Namiranian K., Zobeiri M., Hourfar M. and Marvie Mohajer A. (2013). *Modeling of frequency distribution of tree's height in uneven-aged stands (Case study: Gorazbon district of Khyroud forest)*. Journal of Forest and Wood Production. 2: 322-362.
19. Berger V.W. and Zhou Y. (2014). *Kolmogorov-smirnov test: Overview*. Wiley statsref: Statistics reference online.
20. Burr E. (1964). *Distribution of the two-sample Cram'er-von Mises W2 and Watson's U2*. The Annuals of Mathematical Statistics. 35(3):1091-1098.
21. Dimitrova D.S., Kaishev V.K. and Tan S. (2017). *Computing the Kolmogorov-Smirnov distribution when the underlying CDF is purely discrete, mixed or continuous*.
22. Gibbons J.D. and Chakraborti S. (2003). *Non-Parametric Statistical Inference*. Fourth Edition, Marcel Dekker, New York.
23. Guo H., Chen S., Bao A., Behrangi A., Hong Y., Ndayisaba F., Hu J. and Stepanian P.M. (2016). *Early Assessment of Integrated Multi-Satellite Retrievals for Global Precipitation Measurement over China*. Journal of Atmospheric Research. 176(177): 121-133. Doi: 10.1016/j.atmosres.2016.02.020.
24. Hajek J. and Sidak Z. (1967). *Theory of Rank Tests*. Academic Press, New York.

25. Hanson L.S. and Vogel R. (2009). *The probability distribution of daily rainfall in the United States*, Dept. of Civil and Environmental. Engineering, Tufts Univ., Medford, MA 02155.
26. Hassani H. and Silva E.S. (2015). *A Kolmogorov-Smirnov based test for comparing the predictive accuracy of two sets of forecasts*. *Econometrics*. 3:590-609. <http://dx.doi.org/10.3390/econometrics3030590>.
27. Hesamian G. and Chachi J. (2015). *Two sample Kolmogorove- Smirnov fuzzy test for fuzzy random variables*. *Statistical Papers*. 56: 61-82.
28. Hou A.Y., Kakar R.K., Neeck S., Azarbarzin A.A., Kummerow C.D., Kojima M. and Iguchi T. (2014). *The global precipitation measurement mission*. *Bulletin of the American Meteorological Society*. 95(5): 701-722.
29. Huffman G.J., Bolvin D.T., Braithwaite D., Hsu K., Joyce R., Xie P. and Yoo S.H. (2015). *NASA global precipitation measurement (GPM) integrated multi-satellite retrievals for GPM (IMERG)*. Algorithm theoretical basis document, version 4.5. 30 p.
30. Kidd C. and Huffman G. (2011). *Global precipitation measurement*. *Meteorological Applications*. 18(3):334-353. <https://doi.org/10.1002/met.284>.
31. Kolmogorov A. (1933). *Sulla determinazione empirica di una legge di distribuzione*. *Giornale dell'Istituto Italiano degli Attuari*. 4:83-91.
32. Lall A. (2015). *Data streaming algorithms for the Kolmogorov-Smirnov test*, 2015 IEEE International Conference on Big Data (Big Data), October 29 - November 01. 95-104, <http://dx.doi.org/10.1109/BigData.2015.7363746>
33. Lin P., Wu B. and Watada J. (2010). *Kolmogorov-Smirnov two sample test with continuous fuzzy data*. *Advances in Intelligent and Soft Computing*. 68: 175-186.
34. Longenecker J., Bechtel T., Chen Z., Goldscheider N., Liesch T. and Walter R. (2017). *Correlating Global Precipitation Measurement satellite data with karst spring hydrographs for rapid catchment delineation*. *Geophysical Research Letters*.
35. Lopes R.H., Reid I.D. and Hobson P.R. (2007). *The two-dimensional Kolmogorov-Smirnov test*. <http://bura.brunel.ac.uk/handle/2438/1166>
36. Mahdavi M., Osati K., Sadeghi A.N., Karimi B. and Mobaraki J. (2010). *Planning Precipitation Data (A Case Study of Mazandaran and Golestan Provinces)*. *Journal of Sustainable Development*. 3(1): 159-168.
37. Modarresi F., Araghinejad S.H., Ebrahimi K. and Kholghi M. (2010). *Regional Assessment of Climate Change Using Statistical Tests: Case Study of Gorganroud-Gharehsou Basin*. *Journal of Water and Soil*. 24(3): 476-489.
38. NASA. (2016). <http://trmm.gsfc.nasa.gov> (1/06/2016).
39. Okeniyi J.O. and Okeniyi E.T. (2012). *Implementation of Kolmogorov-Smirnov p-value computation in Visual Basic®: implication for Microsoft Excel library function*. *Journal of Statistical Computation and Simulation*. 82(12):1727-1741.
40. Pratt J.W. and Gibbons J.D. (1981). *Kolmogorov-smirnov two-sample tests*. In *Concepts of nonparametric theory* 318-344. Springer, New York, NY.
41. Sadhanala V., Wang Y.X., Ramdas A. and Tibshirani R.J. (2019). *A higher-order kolmogorov-smirnov test*. arXiv preprint arXiv:1903.10083.
42. Sharifi E., Saghafian B. and Steinacker R. (2016). *Assessment of GPM-IMERG and Other Precipitation Products against Gauge Data under Different Topographic and Climatic Conditions in Iran: Preliminary Results*. *Remote Sensing*. 8(2): 135.
43. Simard R. and L'Ecuyer P. (2011). *Computing the two-sided Kolmogorov-Smirnov distribution*. *Journal of Statistical Software*. 39(11):1-18.
44. Smirnov N. (1948). *Table for estimating the goodness of fit of empirical distributions*. *Annals of Mathematical Statistics*. 19(2):279-281.
45. TOM H.C. (1968). *Direct and inversetables of the game distribution environmental data*.
46. Wang Z., Zhong R., La C. and Chen J. (2017). *Evaluation of the GPM IMERG satellite-based precipitation products and the hydrological utility*. *Atmospheric Research*. 196: 151-163.
47. Wilks D.S. (2006). *Statistical methods in the atmospheric sciences, Second Edition*, Academic Press. Elsevier Inc. U. S. A., 627.
48. Xiao Y., Gordon A. and Yakovlev A. (2007). *A C++ program for the Cram'er-von Mises two-sample test*. *Journal of Statistical Software (Americian Statistical Association)*. 17(8).
49. Zomorodian M., Vazifehdoust M. and Ismaili Varaki M. (2018). *As a new method for extraction rain water and verifying of GPM introduces its satellite*. The 6th national conference on rainwater catchment systems of Khomeini Shahr Azad University.

Evaluation and Comparison of GPM Satellite Precipitation Data with Meteorological Station using Kolmogorov-Smirnov Test

Masoumeh Ordouni¹, Hadi Memarian ^{*2}, Morteza Akbari³, Mohsen Pourreza Bilondi⁴

1. M.Sc. Graduate, Dept. Watershed Management, University of Birjand, Iran.

2.* Associate Prof., Dept. Watershed Management, University of Birjand, Iran.

3. Assistant Prof., Dept. Desert Area Management, Ferdowsi University of Mashhad, Iran.

4. Associate Prof., Dept. Water Science and Engineering, University of Birjand, Iran.

Received: 2021/06

Accepted: 2021/07

Abstract

This study aimed to evaluate and compare the estimated rainfall of GPM meteorological satellite with ground stations using non-parametric Kolmogorov-Smirnov in Gorganrood catchment, Golestan province. In this study, 16 stations were used with the statistical period of 20.03.2014 -20.03.2016. The daily rainfall data of the GPM satellite with a spatial resolution of 0.1 degrees were collected. Data analysis was performed in the MATLAB environment. The results showed that in Bagh Salian, Dashte Shad, Ghochamz, Hagh-ol-Khaje, Zaringol stations, the P-value were higher than the α significance level and were 0.83, 0.36, 0.11, 0.95, 0.33, respectively. Therefore, it showed that the difference between satellite precipitation data and ground station observations was not significant. The results also showed that (0.95) P-value was the highest correlation of GPM data with observational records in Hagh-ol-Khaje station. The lowest level of compliance with the value of 0.001 is related to Shirabad station. Therefore, to improve GPM satellite products, especially in watersheds with the wide spatial distribution and temporal variations of precipitation, calibration of satellite precipitation products should be on the agenda to improve their accuracy in measuring daily precipitation. The Kolmogorov-Smirnov test was performed for the first time to examine the correlation of daily GPM satellite data with observational data, and there was a relative correlation between satellite data and observed ground station records in all stations where the H0 hypothesis was accepted

Keywords: Precipitation measurement, Statistical tests, Water resources management, Meteorological satellites.

* Corresponding Author Email: hadi_memarian @birjand.ac.ir